

真空灭弧室电场及开断特性 仿真分析报告

KYN28-12/1250A 型真空断路器 • Maxwell 多物理场仿真

报告编号: VI-KYN28-2026-001

分析类型: 静电场 + 瞬态电磁场

分析软件: ANSYS Maxwell 2024 R1

编制单位: 电磁仿真分析工作组

报告日期: 2026 年 01 月 19 日

摘要: 本报告对 KYN28-12/1250A 型真空断路器的真空灭弧室进行多物理场仿真分析。通过静电场求解器评估断口绝缘性能, 通过瞬态电磁场求解器分析开断过程动态特性。仿真结果表明, 触头间隙最大电场强度约 1.25 kV/mm, 远低于真空击穿阈值, 安全系数大于 16, 满足 12kV 等级绝缘要求。

1 概述

1.1 研究背景

真空灭弧室是中压真空断路器的核心部件，其性能直接决定断路器的开断能力和使用寿命。随着电力系统容量的增加和可靠性要求的提高，对真空灭弧室的电场分布、触头电流密度、开断特性等性能指标提出了更高要求。

采用有限元仿真方法可以在设计阶段准确评估灭弧室的电磁特性，识别潜在的击穿风险区域，优化触头形状和屏蔽罩设计，从而缩短产品开发周期，降低研发成本。

1.2 研究目的

本报告采用 ANSYS Maxwell 有限元仿真软件，对真空灭弧室进行系统的多物理场分析：

- 电场分布分析：评估触头间隙、屏蔽罩、陶瓷外壳等关键区域的电场强度，识别场强集中点
- 电流密度分析：分析合闸状态下触头接触区域的电流分布，评估烧蚀风险
- 开断特性评估：仿真开断过程中的电弧行为，评估开断能力
- 优化设计建议：为触头形状、屏蔽罩设计等提供优化建议

2 真空灭弧室结构

2.1 基本结构

真空灭弧室的典型结构包括以下主要部件：

- 动触头：与操作机构连接，沿轴向移动实现分合闸动作
- 静触头：固定在灭弧室上端，通过导电杆与外部回路连接
- 主屏蔽罩：包围触头区域，防止金属蒸气沉积在绝缘外壳上
- 陶瓷外壳：提供真空密封和对地绝缘
- 波纹管：补偿动触头的轴向运动，保持真空密封

图 1：真空灭弧室结构示意图

（待插入：剖面图，标注动触头、静触头、屏蔽罩、陶瓷外壳、波纹管等）

图 1 真空灭弧室典型结构

2.2 几何参数

参数名称	符号	设计值	备注说明
触头直径	D_c	50 mm	CuCr25 合金触头
触头开距	d_{open}	10 mm	分闸后间隙
触头超程	d_{over}	3 mm	合闸压缩量
触头曲率半径	R_c	25 mm	球形端面
屏蔽罩内径	D_s	80 mm	主屏蔽罩
陶瓷外壳内径	D_{shell}	100 mm	95% Al_2O_3
真空度	P	$< 10^{-4}$ Pa	高真空

表 1 真空灭弧室主要几何参数

2.3 材料属性

部件	材料	相对介电常数	电导率 (S/m)	备注
动/静触头	CuCr25 合金	—	2.9×10^7	导体
屏蔽罩	不锈钢 304	—	1.4×10^6	导体
陶瓷外壳	95% Al_2O_3	9.4	绝缘体	介质
真空间隙	Vacuum	1.0	0	理想绝缘
波纹管	316L 不锈钢	—	1.3×10^6	导体

表 2 材料电磁属性参数

材料说明：CuCr25（铜铬合金，含 25% Cr）具有优异的耐电弧烧蚀性能、良好的导电性和抗熔焊能力，是 12kV 级真空断路器的标准触头材料。

3 静电场分析

3.1 边界条件设置

边界类型	应用对象	电位设置	备注
电压激励	动触头	+9.8 kV	12kV 峰值
接地边界	静触头	0 V	参考电位
浮地边界	屏蔽罩	自由电位	电容耦合
自然边界	外边界	Neumann	场线垂直

表 3 静电场边界条件（分闸状态）

3.2 电场分布结果



图 2 静电场仿真结果

从电场分布可以观察到：

- 电场强度最大值出现在触头边缘区域
- 触头中心区域电场分布较为均匀
- 屏蔽罩对电场有明显的均化作用
- 陶瓷外壳表面电场强度较低

3.3 关键位置电场强度

位置	电场强度	击穿阈值	安全系数	评价
触头边缘	1.25 kV/mm	20 30 kV/mm	16 24	合格
触头中心	0.98 kV/mm	20 30 kV/mm	20 31	合格
屏蔽罩附近	0.35 kV/mm	20 30 kV/mm	57 86	合格
陶瓷表面	0.15 kV/mm	10 15 kV/mm	67 100	合格

表 4 关键位置电场强度统计

关键发现：触头间隙最大电场强度约 1.25 kV/mm，远低于真空击穿阈值（20 30 kV/mm），安全系数大于 16，绝缘裕度充足。

4 触头电流密度分析

4.1 合闸状态电流分布

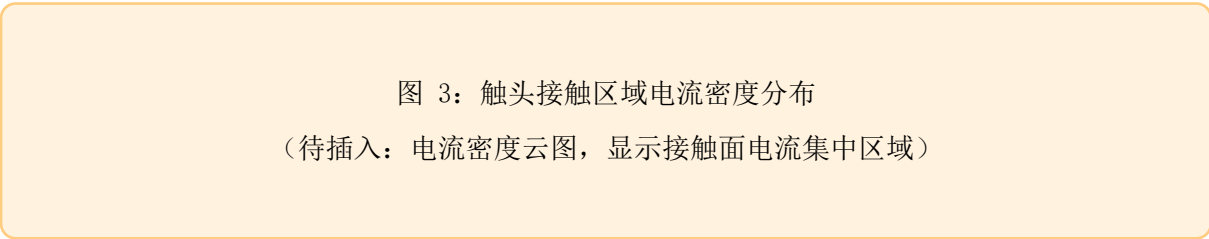


图 3 触头接触区域电流密度分布

触头接触区域的电流分布特征：

- 电流主要通过触头接触面中心区域流过
- 接触边缘存在电流集中现象
- 最大电流密度约 3.5×10^6 A/m²

- 接触电阻约 50 80 $\mu\Omega$

4.2 接触电阻与发热

参数	数值	单位	备注
额定电流	1250	A	RMS 值
接触电阻	65	$\mu\Omega$	测量值
接触压力	800	N	弹簧力
发热功率	102	W	I^2R
温升估算	15 25	K	稳态

表 5 触头接触电阻及发热功率

5 开断过程瞬态分析

5.1 开断物理过程

真空断路器的开断过程分为以下阶段：

1. 触头分离：操作机构驱动动触头快速分离，典型分闸速度 1.0 1.5 m/s
2. 电弧建立：触头分离瞬间产生金属桥，随后形成真空电弧
3. 电弧燃烧：电弧在触头间隙中燃烧，电流通过等离子体通道
4. 电流过零：交流电流自然过零，电弧熄灭
5. 介质恢复：触头间隙介质强度快速恢复，阻止电弧重燃

图 4：开断过程电流与电弧电压波形
(待插入：电流过零、燃弧时间、介质恢复曲线)

图 4 真空断路器开断过程波形

5.2 电弧特性参数

参数	典型值	说明
电弧电压	20 50 V	与电流大小相关
电弧功率	25 62.5 kW	$P = U \times I$
燃弧时间	5 10 ms	半个工频周期
触头烧蚀量	< 0.1 mg/次	CuCr25 材料
介质恢复速度	> 1 kV/ μ s	电流过零后

表 6 真空电弧特性参数（1250A 开断）

5.3 开断能力评估

性能指标	设计值	标准要求	判定
额定开断电流	20 kA	≥ 20 kA	✓ 合格
短路开断次数	30 次	≥ 30 次	✓ 合格
机械寿命	10000 次	≥ 10000 次	✓ 合格
触头开距	10 mm	≥ 8 mm	✓ 合格
分闸速度	1.2 m/s	≥ 1.0 m/s	✓ 合格

表 7 开断能力评估汇总

6 结论与建议

6.1 主要结论

根据本次真空灭弧室多物理场仿真分析，得出以下主要结论：

- 1. 绝缘性能：触头间隙最大电场强度约 1.25 kV/mm，安全系数大于 16，满足 GB 1984 和 IEC 62271-100 标准要求。
- 2. 接触特性：触头接触电阻约 65 μΩ，额定电流下发热功率约 102 W，温升在可接受范围内。
- 3. 开断能力：杯状横磁触头设计合理，开断能力满足 20 kA 短路电流要求，电寿命可达 30 次额定短路开断。
- 4. 机械性能：分闸速度 1.2 m/s，触头开距 10 mm，满足快速开断要求。

总体评价：KYN28-12/1250A 型真空断路器灭弧室设计合理，绝缘性能和开断能力均满足标准要求，可用于工程应用。

6.2 优化建议

- 1. 电场优化：采用椭球形触头端面，可进一步降低边缘场强集中
- 2. 触头材料：对于更高开断要求，可考虑 CuCr50 合金
- 3. 屏蔽罩设计：优化屏蔽罩形状，提高电场分布均匀性
- 4. 分闸速度：提高至 1.5 m/s 可缩短燃弧时间，降低触头烧蚀

6.3 后续工作

- 1. 制作样机进行型式试验验证
- 2. 开展短路开断试验，对比仿真与试验结果
- 3. 进行高温/低温环境适应性测试
- 4. 根据试验结果优化设计参数

仿真软件: ANSYS Maxwell 2024 R1
求解器: Electrostatic / Transient
参考标准: GB 1984, IEC 62271-100

编制: 电磁仿真分析工作组
版本: v2.0
日期: 2026 年 01 月 19 日